

(HUANJING KEXUE)

ENVIRONMENTAL SCIENCE

第37卷 第8期

Vol.37 No.8

2016

中国科学院生态环境研究中心 主办

科学出版社出版



採 施 静 享 (HUANJING KEXUE)

ENVIRONMENTAL SCIENCE

第37卷 第8期 2016年8月15日

目 次

| 在金兔、李云蜂、张大虎、张赤、熊素、熊果、新参州、王少英、常性则、何采为、程序灰、皮肿、马立花、星星生、另几(2847) 成规都不同大气颗粒物中无机水溶性离子污染特征 | 中国地区二次有机气溶胶的时空分布特征和来源分析 |
|---|--|
| 成都平原大气颗粒物中无机水溶性或子污染特征 | 程念亮,李云婷,张大伟,陈添,魏强,孙彤卉,王步英,富佳明,何乐为,程兵芬,皮帅,马立光,崔继宪,孟凡(2847) 抗战胜利70周年大阅兵期间石家庄大气细颗粒物在线来源解析 ···································· |
| 無円市を平一次持续奏極近世中气象条件与污染物型化容能分析。 | |
| 版用单层外产业业高版下、影响国家及理联风险、以黄阳印为网 郭奎思 于爽、整水港、井安、有著雪(2907)农田士璇随用另列郑望凤肥后气态成(NH、和N、O)减排效果比较(以及玉米季为例 结合、类糖螺、浆芡、精铯(2906)音尚南部高阳医阳等则均生长产高寒草甸土蛋仓(、CH、和N、O)通用的观测 疾来, | 嘉兴市春李一次持续雾霾过程中气象条件与污染物变化特征分析 |
| 三峡库化介流域土地利用指持空化及其氮素输出控制效应,以三岭聚外流域为例 | 泉州市大气降尘中金属元素污染特征及来源解析 ···································· |
| 三峡库化介流域土地利用指持空化及其氮素输出控制效应,以三岭聚外流域为例 | 桂林市酸雨变化特征及来源分析 ···································· |
| 三峡库区小流域土地利用时空格局的响应研究,以洱海土部流域为例 | 青海南部高原积雪期与生长季高寒草甸土壤 CO_2 、 CH_4 和 N_2O 通量的观测 ······················· 吴建国,周巧富(2914) 三峡库区香溪河秋末至中冬 CO_2 和 CH_4 分压特征分析 ············ 张军伟,雷丹,肖尚斌,张成,穆晓辉,刘佳,李迎晨(2924) |
| 人两河流水原对土地利用印空格向的响应的影响。以管質的另侧 長睫形 罗光宫 操滴 走雨春,汪福,邓阜(2947)农田银流人工深湿地貌格局暂态存储特征分析 李如忠、黄青飞、钱鸡、殿晓蟆、韦林(2964)农田排水海梁水体、底池中溶质级分布转征试验研究 李忠、黄青飞、钱鸡、殿晓蟆、韦林(2964)农田排水海梁水体、底池中溶质级分布转征试验研究 李惠·曹夷、克利夏、江长胜、黄疸,茂迭纬、静庆菊(2973)重金属在河口区潮汐界面与盐度界面响应规律研究 刘参、郑丙萍、刘孝、马迎鲜、林西埭、王骏、夏阳(2989)瑶圳地区全氟辛烷酶酸的环境多介质迁移和归趋行为研究 杜晓中、平龙,罗骥、黑岩冰(3001)北运河水体中安光溶解性有机物空间分布特征及来源分析 卫亚宁 泽佳钊、宋玉梅、郭畴焦、王毅(3007)北运河水体中安光溶解性有机物空间分布特征及全服分价 卫亚宁 泽佳钊、宋玉梅、郭畴焦、王毅(3007)北运河水体中安光溶解性有机物空间分布特征及来源分析 原水纳,纳玮璇、虎村正、王晚惠(3007)北运河水体中安光溶解性有机物空间分布特征及全流设析 原是 35年,所来,纳,纳玮璇、虎村正、王晚惠(3017)昌邑族海湿地沉积物的放射性核索水平与环境指示意义 王启栋、宋金则、李字刚、袁华茂、寿宁、曹嘉(3026)南部对阿神洪租埠地下水中酿酸酯的污染现状与分布特征 嘉虑 赵兴龙、刘塽、耿芳等、养治粤(3041)南季不同土地利用下表层岩溶泉中脂肪酸米源分析 张娟,外玉川、湖正兰、桑华、成哥、采沙集、《3042)对季不同土地利用下表层岩溶泉中脂肪酸米源分析 张娟,外玉川、湖正兰、桑华、成哥、美华美(3049)之后,张山野山市发展位发现水净、水泉、水泉、水泉、水泉、水泉、水泉、水泉、水泉、水泉、水泉、水泉、水泉、水泉、 | 气候变化对于桥水库总磷与溶解氧的潜在影响分析 ···································· |
| 重金属在河口区潮汐界面与盐度界面响应规律研究 | 一人湖冲流水面双土物利用时交格局的响应研究,以准强化部流或为物。 坝须 庞 滟 储略井 胡小豆 补利 饒力强(2947) |
| 重金属在河口区潮汐界面与盐度界面响应规律研究 | 库湾宫养盐循环对三峡库区宫养盐输运的影响:以阜室河为例 土 |
| 深川地区全业子院顺阪的外现多分质止移和归起行为明党 枯林湾麦层沉积物中有机氯依药的分布特征及来源分析 | 农田排水沟渠水体-底泥甲溶灰氮分布特征试验研究···································· |
| 拓林湾表层沉积物中有机氯农药的分布特征及生态风险评价 比运河水体中荧光溶解性有机物空间分布特征及来源分析 | 重金属在河口区潮汐界面与盐度界面响应规律研究 |
| 昌邑滨海湿地沉积物的放射性核素水平与环境指示意义 | 柘林湾表层沉积物中有机氯农药的分布特征及生态风险评价 卫亚宁,潘佳钊,宋玉梅,郭鹏然,王毅(3007) |
| 乙n 系 LDHs 覆膜或性人工湿地沸石基质除磷机制 | 昌邑滨海湿地沉积物的放射性核素水平与环境指示意义 ············ 王启栋,宋金明,李学刚,袁华茂,李宁,曹磊(3026) 甾醇对南山老龙洞地下河娄便污染的指示 ············· 廖杲 孙玉川 王尊波 梁作兵 张远瞩(3034) |
| Ce**与Cu**协同强化分顺体条氧化苯酚的效能与机制研究 | 滹沱河冲洪积扇地下水中酞酸酯的污染现状与分布特征 ···································· |
| P/生物炭电极反应器处理水中腐殖酸的研究 | Ce ² "与Cu ² "协同强化分顿体系氧化苯酚的效能与机制研究 ············ 张剑桥, 迟惠中, 宋阳, 岁从伟, 江进, 马车(3067) |
| 单偶氮染料 AY17 的光催化降解动力学及机制 阳海,魏宏庆,胡乐天,胡倩,阳立平,刘华杰,易翔,易兵(3086)硫自养反硝化处理高含氟光伏废水可行性 | Pt/生物炭电极反应器处理水中腐殖酸的研究 ···································· |
| 膜曝气生物膜反应器生物强化处理阿特拉津废水运行性能 | 单偶氮染料 AY17 的光催化降解动力学及机制 阳海,魏宏庆,胡乐天,胡倩,阳立平,刘华杰,易翔,易兵(3086) 硫自养反硝化处理高含氟光伏废水可行性 马航,朱强,朱亮,李祥,黄勇,魏凡凯,杨朋兵(3094) |
| 超低溶解氧条件下的 EBPR 系统除磷性能 | - 腹曝气-生物膜反应器生物强化处理阿特拉津废水运行性能 刘素 干长富 张静 陈晓轩 张磊 杨景亮(3101) |
| 超低溶解氧条件下的 EBPR 系统除磷性能 | 活性污泥厌氧 Fe(Ⅲ)还原氨氧化现象初探 ···································· |
| 里子垃圾拆解区土壤重金属空间异质性及分布特征 | 超低溶解氧条件 h 的 EBPR 系统除磷性能 ···································· |
| 流动搅动法研究针铁矿对亚砷酸盐的吸附特征 —— 李鑫,杨军,饶伟,王代长,杜光辉,化党领,刘世亮,刘红思(3169)聚羟基铝柱撑硅藻土的制备及其对水溶液中Cu²+、Zn²+的吸附特性 —— 朱健,雷明婧,王平,张伟丽,陈仰(3177)新型污泥基吸附材料制备及其氨氮去除性能评价 —— 王文东,刘荟,张银婷,杨生炯(3186)纳米复合水凝胶的制备及其对重金属离子的吸附 —— 朱倩,李正魁,张一品,韩华杨,王浩(3192)鼠李糖脂与β-环糊精复合提取预测污染土壤中 PAHs 的生物有效性 —— 张亚楠,杨兴伦,卞永荣,谷成刚,王芳,王代长,蒋新(3201)不同磷水平下丛枝菌根真菌对纳米氧化锌生物效应的影响 —— 景新新,苏志忠,邢红思,王发园,石兆勇,刘雪琴(3208)中美水生生物基准受试物种敏感性差异研究 —— 王晓南,闫振广,余若祯,王婉华,陈丽红,刘征涛(3216)贫营养和痕量抗生素对质粒抗生素抗性适应度代价的影响 —— 林文芳,陈胜,万堃,王春明,林惠荣,于鑫(3224)不同氮水平下间作对玉米土壤硝化势和氨氧化微生物数量的影响 —— 吕玉,周龙,龙光强,汤利(3229) | 田东省典型金矿区土壤里金属空间特征分析与环境风险评估 |
| 聚羟基铝柱撑硅藻土的制备及其对水溶液中Cu²+、Zn²+的吸附特性 | 我国 18 种不同理化性质的土壤对硒酸盐的吸附解吸作用研究 ···································· |
| | 聚羟基铝柱撑硅藻土的制各及甘对水溶液由 C_0^{2+} Z_0^{2+} 的吸附特性 |
| | 纳米复合水凝胶的制备及其对重金属离子的吸附 ···································· |
| 贫营养和粮量抗生素对质粒抗生素抗性适应度代价的影响 ··············· 林文芳, 陈胜, 万堃, 王春明, 林惠荣, 于鑫(3224) 不同氮水平下间作对玉米土壤硝化势和氨氧化微生物数量的影响 ················ 吕玉, 周龙, 龙光强, 汤利(3229) | 不同磷水平下丛枝菌根真菌对纳米氧化锌生物效应的影响 ········· 景新新,苏志忠,邢红恩,王发园,石兆勇,刘雪琴(3201) |
| 不问氮水平下间作对玉米土壤硝化势和氨氧化微生物数量的影响 吕玉,周龙,龙光强,汤利(3229)《环境科学》征订启事(3025) 《环境科学》征稿简则(3057) 信息(3072,3085,3143) | 中美水生生物基准受试物种敏感性差异研究 ···································· |
| | 不同氮水平下间作对玉米土壤硝化势和氨氧化微生物数量的影响 吕玉,周龙,龙光强,汤利(3229)《环境科学》征订启事(3025) 《环境科学》征稿简则(3057) 信息(3072,3085,3143) |

不同氮水平下间作对玉米土壤硝化势和氨氧化微生物 数量的影响

吕玉, 周龙, 龙光强, 汤利*

(云南农业大学资源与环境学院,昆明 650201)

摘要:利用荧光定量 PCR (real-time quantitative PCR,Q-PCR)技术,结合氨氧化细菌(ammonia oxidizing bacteria,AOB)和氨氧化古菌(ammonia oxidizing archaea,AOA)丰度和土壤理化性质的测定,探索了不同氮水平下间作对玉米土壤硝化势(PNF)的影响. 试验设置玉米单作和与马铃薯间作两个种植模式,4个施氮水平(不施氮 NO、1/2 常规施氮 N1、常规施氮 N2 和 3/2 常规施氮 N3)的随机区组试验. 结果表明,从不施氮到常规施氮,土壤硝化势和 AOA、AOB 数量均随施氮量增加而逐渐增加,而高氮(N3)时与 N2 没有显著差异;间作对土壤硝化势、AOA 与 AOB 数量的影响与施氮量和作物生育期有关,低氮投入(N1)间作有利于增加土壤氨氧化微生物数量和硝化作用. 施肥是硝化势增加的主要驱动因子,相关性分析结果表明,土壤含水量是影响 PNF 的主要环境因子; PNF 与土壤中 AOA、AOB amoA 基因丰度成显著的正相关. 尽管玉米马铃薯间作降低了土壤中AOA、AOB amoA 基因丰度,却使得间作土壤中AOB 占据氨氧化微生物数量上的优势. 以上结果表明,施氮和间作均影响了土壤硝化作用和氨氧化微生物 AOA 和 AOB 数量的变化,这些变化会影响土壤环境质量.

关键词:氮水平; 玉米间作; 硝化势; 氨氧化细菌; 氨氧化古菌; 荧光定量 PCR

中图分类号: X172 文献标识码: A 文章编号: 0250-3301(2016)08-3229-08 DOI: 10.13227/j. hjkx. 2016.08.052

Effect of Different Nitrogen Rates on the Nitrification Potential and Abundance of Ammonia-oxidizer in Intercropping Maize Soils

LÜ Yu, ZHOU Long, LONG Guang-qiang, TANG Li

(College of Resources and Environment, Yunnan Agricultural University, Kunming 650201, China)

Abstract: The objectives of this study were to explore the effects of different nitrogen rates on the nitrification potential in intercropping maize soils. The experiment included two plantation types (maize monocropping and intercropping maize and potato) and four nitrogen levels (NO: no fertilizer treatment, N1: 1/2 conventional fertilizer treatment, N2: conventional fertilizer treatment, N3: 3/2 conventional fertilizer treatment). Abundance of AOA and AOB was analyzed with real-time quantitative PCR (Q-PCR) and soil properties were also measured. Results of this study suggested that the PNF of soils, the abundance of AOA and AOB were increased with increasing N fertilization in conventional fertilizer range, and there was no significant difference between N2 and N3 treatments. The influences of intercropping on PNF, AOA and AOB were associated with N application rates and crop growth period, as well as the benefits of ammonia oxidizer and nitrification of intercropping on N1 level. Fertilization was obviously the main driving force of the PNF, correlation analysis indicated that water content was the main environmental factor affecting the nitrification potential. Nitrification potential in maize and potato intercropping soils exhibited significant positive correlations with AOA and AOB amoA gene abundance. Maize and potato intercropping could decrease the abundance of AOA and AOB, but it resulted in dominance of AOB among nitrification bacteria in these soils. In conclusion, N fertilizer and intercropping could affect both soil nitrogen internal cycling process and the abundance of AOA and AOB, which further affected soil environmental quality.

Key words: nitrogen level; maize intercropping; nitrification potential; ammonia-oxidizing bacteria (AOB); ammonia-oxidizing archaea (AOA); real-time PCR

硝化作用在土壤氮素转化中发挥着重要作用,是连接固氮作用和反硝化作用的重要环节. 前期研究表明,土壤硝化作用受土壤无机氮含量、温度、水分、pH等因子的影响[1-4]. 其中,氮肥施用增加了土壤无机氮含量,由此对土壤硝化作用产生的影响受到较多关注. 氨氧化菌包括氨氧化细菌(AOB)和氨氧化古菌(AOA),是影响硝化作用过程中重要的功能微生物,其催化的氨氧化过程是硝化过程的限速步骤^[5],因而受到广泛关注并成为研究热点之

一. He 等^[6]研究发现长期不同施肥模式导致土壤中 AOA 和 AOB 的组成和丰度发生了显著变化,也发现,施氮增加了土壤 *amoA* 基因拷贝数和土壤硝化势^[7,8];施肥处理下土壤中 AOB 数量是不施肥的

收稿日期: 2016-01-30; 修订日期: 2016-03-22

基金项目: 国家自然科学基金项目(41361065,41201289); 云南省科技计划重点项目(2015FA022); 云南省高校科技创新团队项目; 公益性行业科研专项(201103003)

作者简介: 吕玉(1991~),女,硕士研究生,主要研究方向为土壤环境微生物,E-mail:yulvynau@163.com

* 通讯联系人, E-mail: ltang@ ynau. edu. cn

3 倍多^[9],且随施氮量的增加而增加^[10],Ai 等^[11]研究表明,随着施氮量的增加,AOB 的丰度和土壤硝化势也在增加;Chu 等^[12]发现长期施氮肥能够增加土壤硝化势和 AOB 的群落结构.

间作具有显著的增产效应,在世界农业生产中 被广泛应用[13]. 在中国西北、西南地区,间作在作 物生产上具有悠久历史,大部分关于间作的研究都 集中于光、水、养分等资源的利用[14~16].由于作物 间的相互作用,间作改变了土壤温度、水分等环境 要素和土壤无机氮供应,可能对土壤硝化作用产生 重要影响,然而相关报道却较为少见. 高阳等[17] 通 过田间试验研究了玉米大豆间作对硝化-反硝化作 用的影响,结果表明,施氮提高了土壤硝化速率,在 生育期内,硝化速率呈现先增加后降低的趋势,然而 并没有比较单间作之间硝化作用的差异. Song 等[18]研究发现玉米大豆间作和小麦玉米间作会影 响氨氧化细菌的群落组成. 显然,与单作相比,间作 对土壤硝化作用和氨氧化微生物的影响仍不够明 确,尤其是在氮肥用量不同时的单间作硝化作用差 异仍缺乏报道.

玉米马铃薯间作是一种代表高、矮作物立体种植的典型配置,是较为普遍的农业生产方式,尤其在云南及西南地区,玉米马铃薯间作是春季作物种植中最普遍、最重要的种植模式,在云南农业生产中具有广泛地代表性和重要地位,其具有显著控病效果[19],能充分利用光照、养分和水分资源[20],能显著提高植物的光合效率[21],而且有较高的土地当量比与增产效应[22].本文选取云南长期耕作的农田土壤为研究对象,采取室内培养试验,微生物分子生态学的方法分析不同氮水平对间作玉米土壤硝化势的影响和硝化微生物的响应,旨在为作物间作生产提供科学参考,为土壤氮素循环的合理调控提供科学依据.

1 材料与方法

1.1 试验地概况

试验始于 2014 年,地点位于云南省昆明市,云南农业大学寻甸大河桥农场,N 23°32′、E 103°13′,海拔1 953.5 m. 气候条件属于亚热带季风气候,年平均气温 14.7 $^{\circ}$,年降水量1 040 mm. 土壤为红壤,

试验开始时,供试土壤 $0 \sim 20$ cm 土层含有机质 20.79 $g \cdot kg^{-1}$,速效磷 (P) 10.15 $mg \cdot kg^{-1}$,速效钾 (K) 125.34 $mg \cdot kg^{-1}$,硝态氮 $(NO_3^- \cdot N)$ 4.09 $mg \cdot kg^{-1}$,铵态氮 $(NH_4^+ \cdot N)$ 0.83 $mg \cdot kg^{-1}$, pH 7.58.

试验设置玉米单作(MM)和玉米间作(IM)两种种植模式,间作时的配套作物为马铃薯.每个种植模式均有 4 个施氮水平,分别是不施氮(N0,0 kg·hm $^{-2}$)、低氮施肥(N1,125 kg·hm $^{-2}$)、常规施氮(N2,250 kg·hm $^{-2}$)、高氮施肥(N3,375 kg·hm $^{-2}$). 玉米氮肥分基肥、拔节期追肥、喇叭口期追肥 3 次施人,分别占总施氮量的 40%、25% 和35%. 磷肥(P_2O_5)75 kg·hm $^{-2}$ 和钾肥(K_2SO_4)125 kg·hm $^{-2}$ 均以基肥的形式施人.以上两项试验皆为随机完全区组设计,每处理重复 3 次,共 24 个种植小区.小区的面积 32.50 m 2 (5 m×6.5 m),在小区四周设置保护行. 试验期间的管理措施按当地农民习惯进行.

1.2 土壤的采集和基本理化性质的测定

土壤样品采集用五点采样法,采样时间按照表 1 所示,采样深度为 0 ~ 20 cm. 将五点采集的土壤 去除根系、杂草、土壤动物和石块等杂质后过 2 mm 筛,混匀. 一部分 4℃保存用于土壤硝化势和含水量 测定,剩余的土样风干用于测定其他理化性质. 2015 年 7 月 9 日 (喇叭口期) 另取新鲜土样于 -80℃冷冻保存用于土壤微生物荧光定量 PCR 分析. 每次采样的时候进行温度(T)的测定,在单作 玉米行间,间作玉米行间,间作玉米马铃薯行间分别 插入 3 根温度计,待稳定之后进行读数.

土壤的含水量(H_2O)采用烘干法测定;土壤 pH 采用电位法(水土比 2.5:1); NO_3^- -N和 NH_4^+ -N 采用 1 $mol \cdot L^{-1}$ KCl 浸提,浸提液用流动分析仪测定;有机质采用重铬酸钾容量法测定;速效磷采用碳酸氢钠-分光光度计法测定;速效钾采用醋酸铵-火焰光度计法测定;测定土壤溶解性总氮(TDN)采用 1 $mol \cdot L^{-1}$ KCl 浸提,过硫酸钾氧化,流动分析仪测定 NO_3^- -N浓度;DON 采用差减法,即溶解性总氮减去硝态氮含量.

1.3 硝化势(PNF)的测定

土壤样品采集回实验室后,立即进行硝化势的

表 1 玉米种植、收获及土壤样品采集日期

| _ | | Table 1 Maize planting, harvesting and soil sample concetton dates | | | | | | |
|---|--------|--|-------|-------|-------|-------|-------|-------|
| | 年份 | 种植日期 | 苗期 | 拔节期 | 喇叭口期 | 抽穗期 | 成熟期 | 收获日期 |
| _ | 2014 年 | 05-17 | 05-28 | 06-22 | 07-23 | 08-23 | 09-31 | 10-19 |
| | 2015 年 | 05-11 | 05-29 | 06-27 | 07-09 | 08-12 | 09-18 | 10-06 |

测定. 采用好气培养法^[12]. 稍作修改,具体如下:称取 20 g 鲜土置于三角瓶中,加入(NH₄)₂SO₄ 调节NH₄⁺-N的浓度到 40 mg·(100 g)⁻¹,按干土的质量计算,田间持水量调节到 60%,不加(NH₄)₂SO₄ 溶液的作为对照. 将三角瓶放到 23℃的黑暗培养箱中培养 48 h. 培养结束之后,土壤NO₃⁻-N含量的测定以 1 mol·L⁻¹KCl 溶液振荡浸提,过滤,用流动分析仪测定.

1.4 DNA 的提取

土壤总 DNA 提取采用 PowerSoil[™] Total DNAIsolation 试剂盒进行(MO BIO Iaboratories, CA, USA),称取 0.4 g、-80℃保存的土壤样品,按试剂盒提供的操作步骤进行,以 FastPrep 细胞破碎仪(Qbiogene Inc, USA)进行细胞破碎处理,速度 5.0 m·s⁻¹,时间 45 s. 提取的 DNA 在 1% 的琼脂糖胶中进行电泳检测,并将提取的 DNA 保存于 -20℃用于后续分析.

1.5 定量 PCR

功能基因的定量分析采用 SYBR GREEN 法, AOA 和 AOB amoA 基因分别采用 Arch-amoAF/Arch-amoAR 和 amoA-1F/amoA-2R 进行 PCR 扩增,每个样品 3 次重复. 采用 TransStart® Top Green qPCR SuperMix (全式金生物技术有限公司,北京)试剂盒于 ABI StepOne Plus Real-Time PCR System 扩增仪上进行绝对荧光定量 PCR 分析,反应体系 20 μ L,其中 2 μ L 稀释 5 倍的 DNA 模板加反应液 18 μ L,反应液包括 10 μ L TransStart® Top Green qPCR SuperMix(2 ×),0.4 μ L Passive Reference Dye I (50 ×),前、后引物各 0.4 μ L(10 μ mol·L⁻¹,捷基生物工程公司,上海)和 6.8 μ L 超纯水. 试验对照用灭菌双蒸水代替 DNA 作为反应模板.

标准曲线的制作:参照 He 等^[6]报道的方法,以 土壤中提取的混合 DNA 为模板进行 AOB 和 AOA 的 amoA 基因 PCR 扩增,将扩增产物用 TIANGEN Universal DNA Purification Kit 试剂盒(天根)对其进 行纯化回收,按试剂盒方法用 pEASY® -T3(pEASY-T3 Cloning Kit 北京全式金生物技术有限公司)载体 连接 PCR 产物,然后克隆到 Trans1-T1 感受态细胞 中(Trans1-T1 Phage Resistant Chemically Competent Cell 全式金生物技术有限公司),在氨苄青霉素平板 上进行蓝白斑试验筛选阳性克隆,取部分阳性转化 菌液送至上海生工生物工程有限公司进行测序.测 序结果为阳性的菌液,利用 TIAN Pure Midi Plasmid Kit 试剂盒(天根)提取重组质粒 DNA,然后用 Nanodrop (美国)测定重组质粒 DNA 的浓度,根据已知质粒全序列和阿伏伽德罗常数 (6.02×10²³ mol⁻¹),计算 amoA 基因拷贝数. 以 10 倍梯度分别进行稀释,每个稀释度进行 3 次重复,通过荧光定量PCR 扩增分别获得 AOA 和 AOB 的 amoA 基因标准曲线,反应程序如文献[23,24].

1.6 数据处理

采用 SPSS 22 软件进行数据方差分析和相关性分析; ABT 分析采用 R 语言中的"gbmplus"程序包进行处理,即采用的是 R 语言软件的 ABT 聚合推进树分析方法,直接用"gbmplus"程序包先进行编程再进行数据分析; 用 Microsoft Excel 2010 进行数据处理、制图.

2 结果与分析

2.1 不同施氮水平和间作对玉米土壤硝化势的影响

2.1.1 施氮水平对玉米土壤硝化势的影响

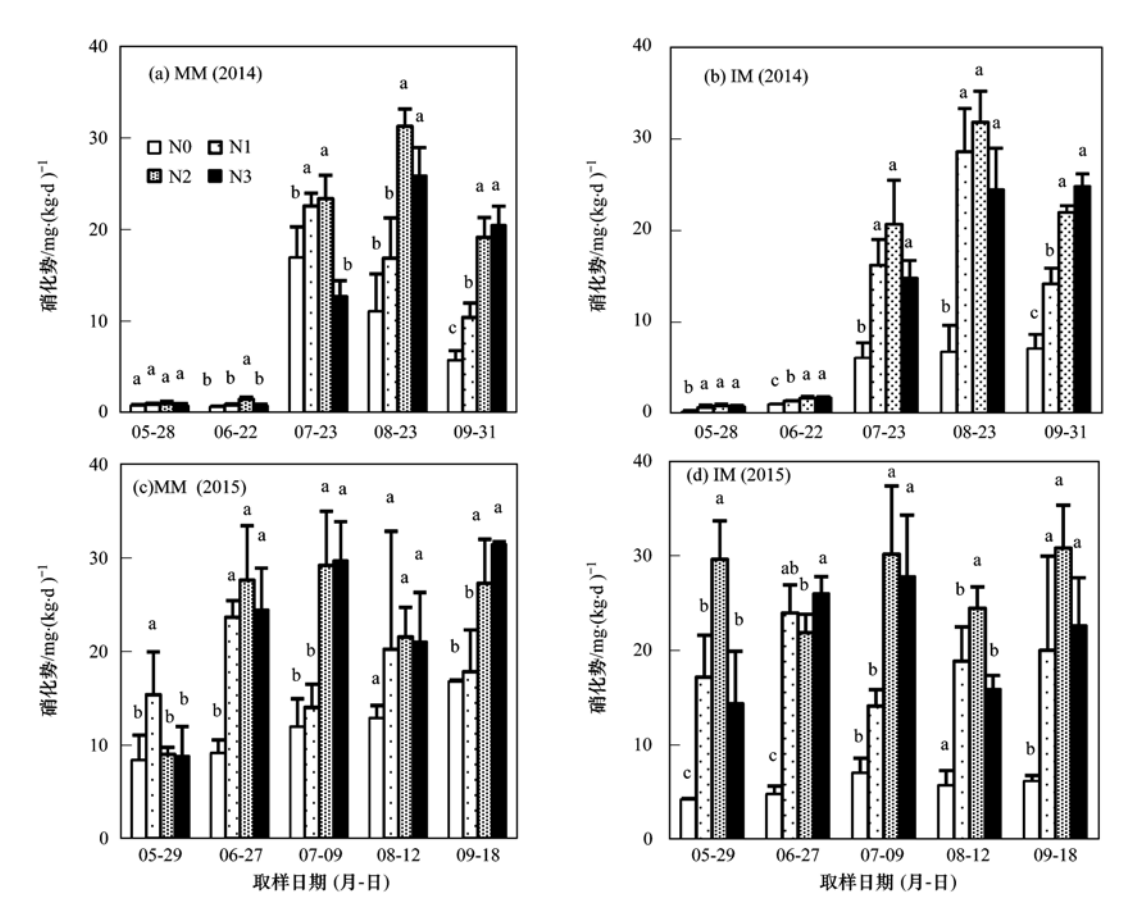
由图 1 可知,在常规施氮范围内,玉米单作和间作的土壤硝化势随着施氮量的增加而增加,均在 N2处理下达到最大值,超过常规施氮水平之后,硝化势不再增加,甚至出现下降的趋势,MM 土壤硝化势在 N1、N2、N3处理下分别是 N0 的 1.5、2.0 和 1.9倍,IM、MM 土壤硝化势在 N1、N2、N3处理下分别是 N0 的 3.2、4.3 和 3.5 倍.在单间作玉米整个生育期内,生长前期的土壤硝化势较低,由苗期到抽穗期玉米土壤硝化势逐渐升高,抽穗期达到最高,成熟期时反而降低.试验的两个年度间进行比较,单间作玉米土壤硝化势随着施氮量的增加变化趋势大体一致,不同的是 2014年玉米前两个生育期的土壤硝化势极低.

2.1.2 间作对玉米土壤硝化势的影响

间作对土壤硝化势的影响与施氮量和作物生育期有关(表2),在N0处理下,单作玉米土壤硝化势是间作玉米的1.9倍,显著高于间作玉米,在其它氮水平下单间作玉米土壤硝化势没有显著差异.在玉米整个生育期,除了苗期之外,间作有降低土壤硝化势的趋势.2014年,在喇叭口期,间作玉米土壤硝化势显著低于单作玉米,其他生育期内没有显著差异.两年的变化规律基本一致.

- **2.2** 不同施氮水平和间作对玉米土壤氨氧化微生物数量的影响
- **2.2.1** 施氮水平对玉米土壤氨氧化微生物数量的影响

依据标准曲线用Real-time PCR技术获得的不



MM:玉米单作,IM:玉米间作. N0:不施氮处理,N1:1/2 常规施氮处理,N2:常规施氮处理,N3:3/2 常规施氮处理; 不同小写字母表示同一生育期不同氮水平处理间差异显著(P<0.05)

图 1 不同氮水平对玉米土壤硝化势的影响

Fig. 1 Nitrification potential (PNF) in maize soils with different nitrogen rates

表 2 间作对玉米土壤硝化势的影响1)

Table 2 Nitrification potential (PNF) in maize soils with maize and potato intercropping

| 年八 | 分 生育期 | NO | | 1 | N1 | 1 | N2 | N3 | |
|------|-------|-------------------------|----------------------------|---------------------------|----------------------------|----------------------------|--------------------|----------------------------|-------------------|
| 平切 | 生月朔 | MM | IM | MM | IM | MM | IM | MM | IM |
| | 苗期 | 0.78 ±0.12a | 0.20 ± 0.14 b | 0.95 ±0.12a | 0.63 ± 0.28a | 1.01 ±0.25a | 0.82 ± 0.22a | $0.78 \pm 0.22a$ | 0.75 ±0.14a |
| | 拔节期 | $0.67\pm0.07\mathrm{b}$ | $0.98 \pm 0.05 a$ | $0.86\pm0.12\mathrm{b}$ | $1.36 \pm 0.04a$ | $1.48 \pm 0.25 a$ | $1.66 \pm 0.21a$ | $0.78 \pm 0.17 \mathrm{b}$ | $1.72 \pm 0.10a$ |
| 2014 | 喇叭口期 | $16.94 \pm 3.36a$ | $6.05 \pm 1.68 \rm{b}$ | 22.57 $\pm 1.37a$ | $16.18 \pm 2.82\mathrm{b}$ | $23.36 \pm 2.55 a$ | $20.66 \pm 4.81a$ | $12.72 \pm 1.7a$ | $14.8 \pm 1.91a$ |
| | 抽穗期 | $11.08 \pm 4.06a$ | 6.72 ± 2.91 b | $16.87\pm 4.42\mathrm{b}$ | $28.57 \pm 4.71a$ | $31.25 \pm 1.9a$ | $31.79 \pm 3.38a$ | $25.88 \pm 3.05 a$ | 24.44 ± 4.51a |
| | 成熟期 | $5.76 \pm 1.03a$ | $7.08 \pm 1.55 a$ | $10.42\pm1.56a$ | $14.14 \pm 1.73a$ | 19. 15 \pm 2. 15a | $21.94 \pm 0.73a$ | $20.46 \pm 2.09a$ | $24.79 \pm 1.36a$ |
| | 苗期 | $8.42 \pm 2.64a$ | 4.24 ± 0.1a | 15.38 ±4.56a | 17.2 ± 4.42a | $9.03 \pm 0.73 \mathrm{b}$ | 29.64 ± 4.07 a | 8.84 ± 3.15a | 14.42 ± 5.51a |
| | 拔节期 | $9.16 \pm 1.39a$ | $4.82 \pm 0.85 \mathrm{b}$ | $23.65 \pm 1.78a$ | $23.98 \pm 2.96a$ | $27.6 \pm 5.82a$ | $21.87 \pm 1.95 a$ | $24.46 \pm 4.43a$ | $26.04 \pm 1.78a$ |
| 2015 | 喇叭口期 | $11.97 \pm 2.98a$ | $7.08 \pm 1.55 a$ | $14.03\pm 2.47a$ | 14.14 \pm 1.73a | 29. 19 $\pm 5.77a$ | $30.19 \pm 7.2a$ | 29.7 ±4.16a | $27.84 \pm 6.49a$ |
| | 抽穗期 | $12.90 \pm 1.32a$ | $5.75\pm1.55\mathrm{b}$ | 20. 24 ± 12. 59a | a 18.89 ± 3.59a | $21.56 \pm 3.16a$ | $24.48 \pm 2.24a$ | $21.03 \pm 5.27a$ | $15.92 \pm 1.43a$ |
| | 成熟期 | $16.8 \pm 0.14a$ | $6.20 \pm 0.58 \mathrm{b}$ | $17.83 \pm 4.47a$ | $20.02 \pm 9.96a$ | $27.27 \pm 4.71a$ | $30.82 \pm 4.56a$ | $31.44 \pm 0.3a$ | $22.65 \pm 5.04a$ |

1)不同小写字母表示同一施氮水平条件下单间作处理间差异显著(P<0.05)

同施肥处理的 AOA amoA 基因拷贝数(以干土计,下同)在 $1.808 \times 10^4 \sim 4.413 \times 10^4$ copies·g⁻¹之间, AOB amoA 基因拷贝数在 $1.223 \times 10^4 \sim 2.7 \times 10^5$ copies·g⁻¹之间,结果如图 2. N2 和 N3 处理的 MM 土壤中 AOA 的 amoA 基因拷贝数显著高于 N0 和 N1 处理,在 N2 处理下达到最大值, MM 土壤 AOA

数量在 N1、N2、N3 处理下分别是 N0 的 1.05、1.67 和 1.55 倍. IM 的 AOA 数量在 N2 处理下最高,显著高于 N0 处理,施氮处理间没有显著差异, IM 土壤 AOA 数量在 N1、N2、N3 处理下分别是 N0 的 1.26、1.56 和 1.40 倍.

MM 土壤中 AOB 的 amoA 基因拷贝数随着施氮

量的增加先增加后降低,在 N2 处理下达到最大值,显著高于其他处理,分别是 N0、N1 和 N3 的 7.62、7.10 和 1.25 倍. IM 土壤的 AOB 数量随着施氮量的增加而增加,在 N3 处理下达到最大值,各施氮处理间达到显著差异.

2.2.2 间作对玉米土壤氨氧化微生物数量的影响

由图 2 可知,在 NO 处理下,MM 土壤中 AOA 基因拷贝数显著高于 IM,其它施氮条件下单间作玉米之间 AOA 数量没有显著差异;在 NO 和 N2 条件下,MM 土壤中 AOB 基因拷贝数显著高于 IM,在另外两个施氮处理下则刚好相反,为 IM 显著高于 MM.

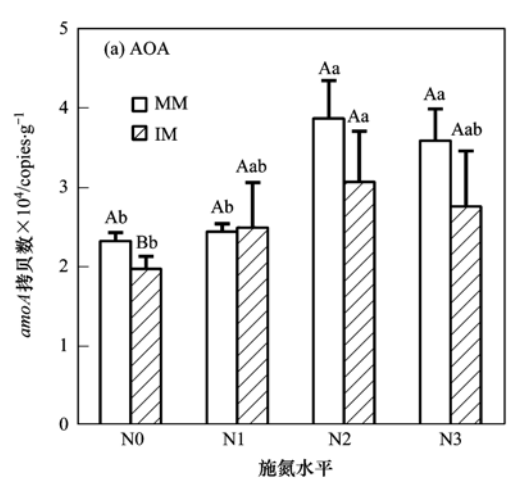
通过比较同一作物同一施氮处理下土壤中AOA和AOB的数量可知,除了NO条件下IM土壤中AOA数量显著高于AOB数量之外,其他处理土壤中均为AOB数量显著高于AOA数量,AOB和AOA数量比例可达0.68~9.76,两者比例随着施氮水平的增加而增加,IM在N3处理下的差异最大,表明玉米土壤中AOA占据氨氧化微生物数量上的

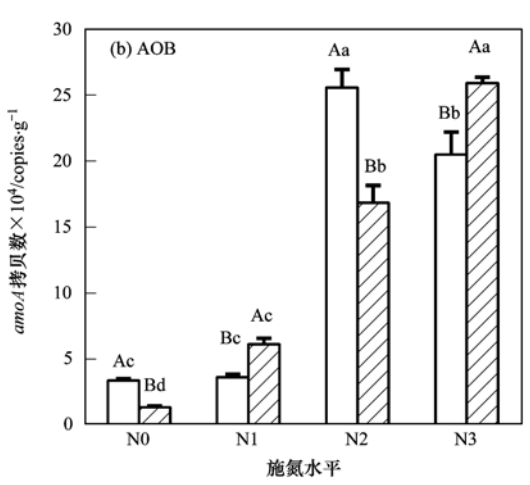
优势.

2.3 氨氧化微生物数量、PNF 和土壤理化性质的相关性分析

将 PNF、AOA、AOB 和土壤理化性质进行相关性分析(表 3),结果表明: Cw 与玉米土壤的 PNF 都呈极显著正相关,不同的是无机氮、有机氮和 T 与 PNF 呈显著负相关; NH_4^+ -N、TDN、P 和 T 与 MM的 PNF 呈显著负相关; NO_3^- -N、 NH_4^+ -N、TDN 和 pH 与 IM 的 PNF 呈显著负相关. 玉米土壤的 AOA、AOB 数量与土壤因子的相关性和 MM 的相关性一致,都是 Cw 与 AOA 呈极显著正相关, NO_3^- -N、DON、TDN 和 P与 AOA、AOB 呈显著负相关,而 IM的 AOA 和影响因子没有相关性,IM的 AOB与 NO_3^- -N、 NH_4^+ -N、DON、TDN 呈显著负相关.

PNF 和 AOA、AOB 的 amoA 基因拷贝数的线性 回归分析结果显示, PNF 和 AOA、AOB 之间存在极显著的线性正相关关系, 且相关系数分别达到 0.786、0.845(P < 0.01, 图 3).





不同小写字母表示同一种植模式下不同施氮处理间差异显著,不同大写字母表示同一施氮水平条件下单间作处理间差异显著(P<0.05)

图 2 不同氮水平和间作对土壤氨氧化古菌(AOA)和氨氧化细菌(AOB)数量的影响

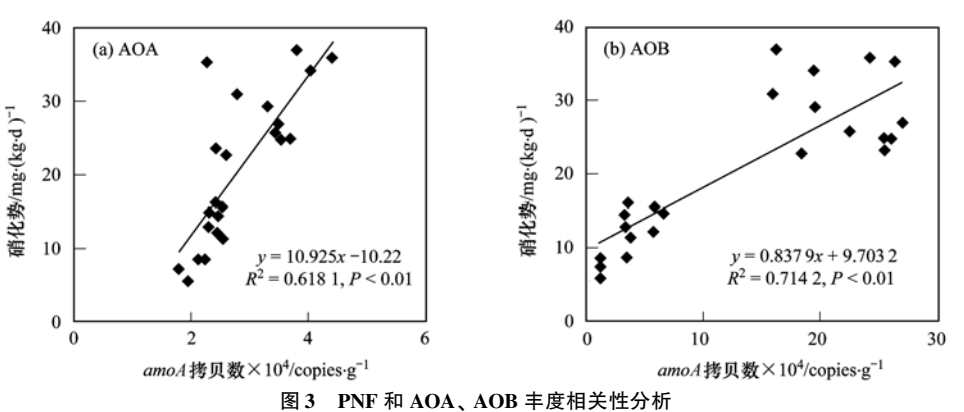
Fig. 2 Abundance of AOA and AOB in soild with different nitrogen rates and maize intercropping

表 3 土壤理化性质和 PNF、amoA 数量的 Pearson 相关系数1)

 ${\it Table 3} \quad {\it Pearson correlation coefficients between physic-chemical properties and PNF, amo A~copies}$

| - | NO ₃ -N | NH ₄ -N | DON | TDN | | P | K | _ | |
|-----------|----------------------|----------------------|----------------------|---------------------------------------|------------|----------------------|-----------------------------------|------------|---------|
| | /mg·kg ⁻¹ | /mg·kg ⁻¹ | /mg·kg ⁻¹ | $/\mathrm{mg} \cdot \mathrm{kg}^{-1}$ | Cw | /mg·kg ⁻¹ | $/\text{mg} \cdot \text{kg}^{-1}$ | T | рН |
| 硝化势(IMP) | -0. 256 * * | -0.319 * * | -0.227 * | -0.435 * * | 0. 428 * * | -0.120 | 0. 088 | -0. 225 * | -0.131 |
| 硝化势(MM) | -0.251 | -0. 299 * * | -0.249 | -0.490 * * | 0. 360 * * | -0.286* | -0.017 | -0.359 * * | 0.119 |
| 硝化势(IM) | -0. 266 * | -0.383 * * | -0.235 | -0.412 * * | 0. 496 * * | -0.027 | 0. 179 | -0.099 | -0.311* |
| AOA(IMP) | -0. 563 * * | -0.240 | -0.455 * | -0.649 * * | 0. 643 * * | -0.551 * * | -0.123 | -0.338 | -0.057 |
| AOA (MM) | -0.791 * * | -0.458 | -0.734 * * | -0.848 * * | 0. 748 * * | -0.661 * | -0.138 | -0.089 | -0.167 |
| AOA (IM) | -0.374 | -0.435 | -0.375 | -0.535 | 0.498 | -0.457 | -0.084 | -0.312 | 0.084 |
| AOB (IMP) | -0. 799 * * | -0.395 | -0.558 * * | -0.884 * * | 0. 700 * * | -0.619 * * | -0.006 | -0.215 | -0.210 |
| AOB (MM) | -0. 867 * * | -0.488 | -0.695 * * | -0.905 * * | 0. 863 * * | - 0. 725 * * | -0.087 | -0.050 | -0.207 |
| AOB (IM) | -0.728 * * | -0.615* | -0.634 * | -0.892 * * | 0. 477 | -0.500 | 0.099 | -0.345 | -0.221 |

^{1) *} 表示 0.05 水平显著,* * 表示 0.01 水平显著;DON: 溶解性有机氮;TDN: 溶解性总氮;Cw: 质量含水量;P: 速效磷;K: 速效钾;T: 温度



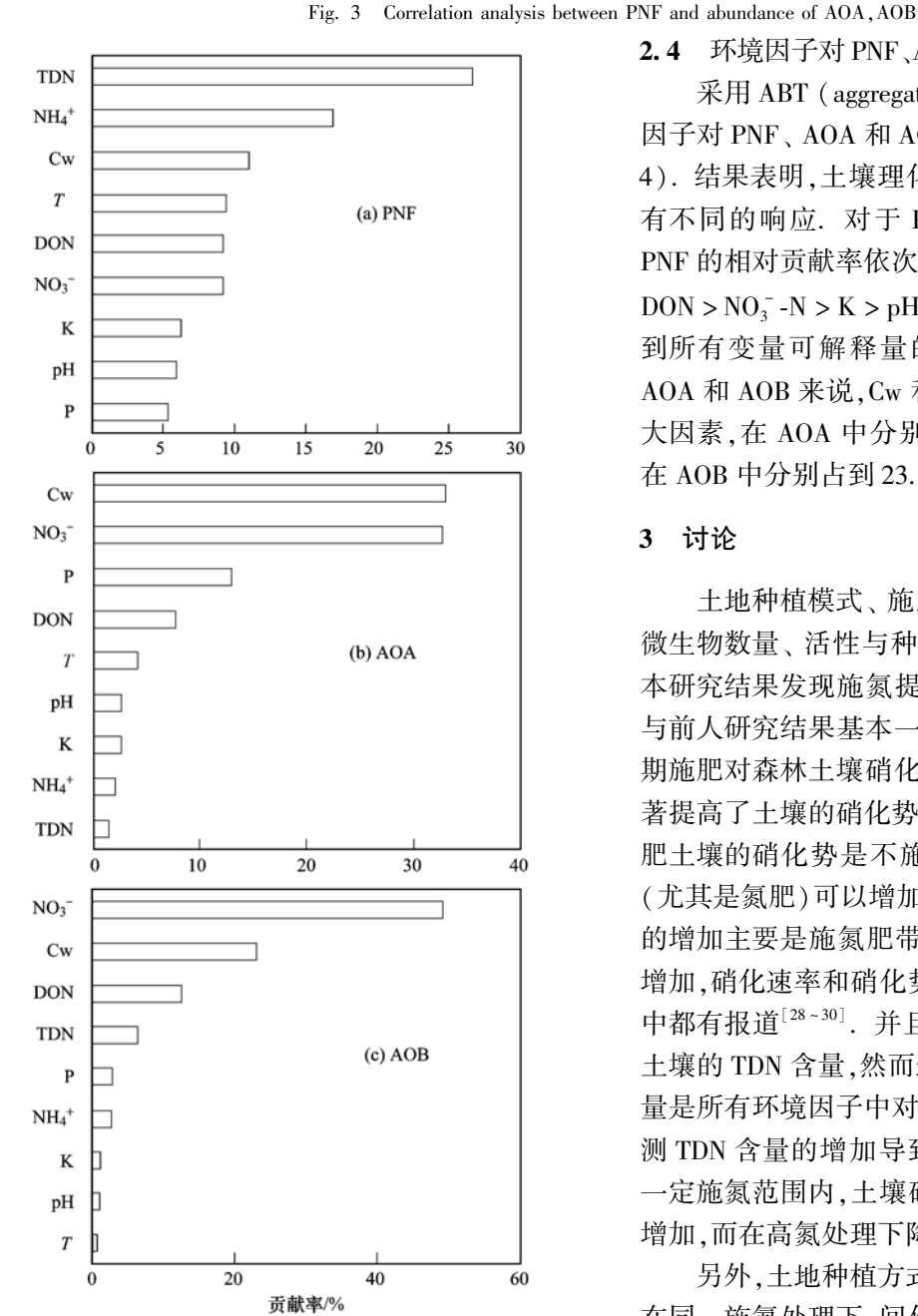


图 4 环境因子对 PNF、AOA 和 AOB 丰度的相对贡献 Fig. 4 Relative contribution between environmental factor of PNF and abundance of AOA AOB

环境因子对 PNF、AOA 和 AOB 丰度的相对贡献 采用 ABT (aggregated boosted tree) 分析了土壤 因子对 PNF、AOA 和 AOB 丰度的单独的解释量(图 4). 结果表明,土壤理化性质对 PNF、AOA 和 AOB 有不同的响应. 对于 PNF 来说,各个环境因子对 PNF 的相对贡献率依次为 TDN > NH₄ -N > Cw > T > DON > NO₃ -N > K > pH > P, TDN 和NH₄ -N分别占 到所有变量可解释量的 26.72% 和 16.8%. 对于 AOA 和 AOB 来说, Cw 和NO; -N是贡献率最大的两 大因素,在 AOA 中分别占到 33.1% 和 32.78%,而 在 AOB 中分别占到 23.18% 和 49.25% 的解释量.

3 讨论

土地种植模式、施肥、管理以及土壤特性会对 微生物数量、活性与种群结构产生较大影响[25,26]. 本研究结果发现施氮提高了作物土壤中的 PNF,这 与前人研究结果基本一致,如 Wertz 等[27]分析了长 期施肥对森林土壤硝化势的影响,他们发现施肥显 著提高了土壤的硝化势; Chu 等[12] 研究发现施用氮 肥土壤的硝化势是不施肥的 13~21 倍,长期施肥 (尤其是氮肥)可以增加土壤的硝化势. 土壤硝化势 的增加主要是施氮肥带来了无机 N,随着施氮量的 增加,硝化速率和硝化势也增加的情况在其他研究 中都有报道[28~30]. 并且笔者发现施氮增加了作物 土壤的 TDN 含量,然而通过 ABT 研究发现,TDN 含 量是所有环境因子中对 PNF 解释量最大的,因此推 测 TDN 含量的增加导致了硝化势含量的增加. 在 一定施氮范围内,土壤硝化势随着施氮量的增加而 增加,而在高氮处理下降低.

另外,土地种植方式对硝化势的影响结果表明, 在同一施氮处理下,间作玉米显著降低了土壤的硝 化势,这可能是由于间作引起硝化微生物的变化. 为了探讨玉米马铃薯间作土壤对施肥和种植方式差 异性响应的微生物机制,本研究采用 Q-PCR 技术, 通过分析编码施氮以及间作对土壤中 AOA、AOB amoA 基因丰度的影响. 研究结果表明,施肥显著增 加了 AOA、AOB 的基因丰度. 相关研究表明,施肥 显著促进 AOA 和 AOB 生长这种现象具有一定的普 遍性,Song 等[31]研究发现施肥显著增加了水稻土壤 中 AOA 和 AOB 的基因丰度. 本研究中,在 N2 处理 下,间作显著降低了 AOA 和 AOB 的基因丰度,土壤 中 AOA 和 AOB 丰度随着施氮量的增加呈现先增加 后降低的趋势,在 N2 水平下达到最大值,而且都是 AOA amoA 拷贝数高于 AOB, 表明在该试验条件下 AOA 更敏感,这与前人研究结果一致[32,33],说明土 壤微生物数量会随着施氮量以及种植方式的不同而 发生变化,但也有可能是施氮和种植模式的差异导 致微生物群落结构的改变,从而导致微生物数量上 的差异,但对于这一原因推测是否合理还需要在接 下来的试验中进行深入的研究.

前人的研究结果认为土壤 pH 会影响 AOA 和AOB 的群落结构和丰度^[33~35],但在本研究结果中,pH 介于7.76~7.84,各处理之间土壤 pH 没有显著差异,另外 ABT 分析发现 pH 对 PNF、AOA 和 AOB 丰度的贡献率分别为5.98%、2.66%和1.08%,占所有解释变量的比例较低,因此在本试验条件下不是主要影响因子。ABT 分析发现 Cw 对 AOA 和 AOB 的解释变量最大,逐步回归分析显示 PNF 和 AOA、AOB 之间存在极显著的线性正相关,相关分析表明,Cw 和 PNF、AOA、AOB 都显著正相关,说明水分是硝化作用的主要影响因子,这与曾泽彬等^[36]的研究结果一致,因此认为间作降低了 Cw,进而影响氨氧化微生物的数量最终导致 PNF 降低。然而 AOB 和 PNF 的相关系数更高,说明 AOB 的丰度与土壤硝化势的关联更为密切。

4 结论

- (1)不同施肥和间作对土壤硝化势具有明显的 影响作用,在常规施氮范围内,随着施氮的增加土壤 硝化势也在增加,但是超过常规施氮之后硝化势不 再增加,甚至出现下降的趋势.
- (2)随着施氮量的增加,单间作玉米土壤中AOA呈现先增加后降低的趋势,MM的 AOB变化趋势和AOA一致,而IM的AOB丰度随着施氮量的增加而增加;间作玉米的氨氧化微生物数量低于单作玉米.玉米土壤中AOB的丰度高于AOA.
 - (3) ABT 分析表明,含水量和NO, -N对 AOA 和

AOB 的相对贡献率最大. 相关分析表明,硝化势与含水量、AOA、AOB 丰度显著正相关,说明 PNF 的变化与 AOA 和 AOB 的丰度显著相关.

参考文献:

- [1] 贾俊仙,李忠佩,刘明,等. 施用氮肥对不同肥力红壤性水稻土硝化作用的影响[J]. 生态与农村环境学报,2010,26(4):329-333.
- [2] Dessureault-Rompré J, Zebarth B J, Georgallas A, et al. Temperature dependence of soil nitrogen mineralization rate: Comparison of mathematical models, reference temperatures and origin of the soils[J]. Geoderma, 2010, 157(3-4): 97-108.
- [3] Ye C, Cheng X L, Zhang Y L, et al. Soil nitrogen dynamics following short-term revegetation in the water level fluctuation zone of the Three Gorges Reservoir, China [J]. Ecology Engineer, 2012, 38(1): 37-44.
- [4] Xiao K C, Xu J M, Tang C X, et al. Differences in carbon and nitrogen mineralization in soils of differing initial pH induced by electrokinesis and receiving crop residue amendments [J]. Soil Biology and Biochemistry, 2013, 67: 70-84.
- [5] Ke X B, Angel R, Lu Y H, et al. Niche differentiation of ammonia oxidizers and nitrite oxidizers in rice paddy soil [J]. Environmental Microbiology, 2013, 15(8): 2275-2292.
- [6] He J Z, Shen J P, Zhang L M, et al. Quantitative analyses of the abundance and composition of ammonia-oxidizing bacteria and ammonia-oxidizing archaea of a Chinese upland red soil under long-term fertilization practices [J]. Environmental Microbiology, 2007, 9(9): 2364-2374.
- [7] Wang J, Li G, Lai X, et al. Differential responses of ammoniaoxidizers communities to nitrogen and water addition in Stipa baicalensis Steppe, Inner Mongolia, Northern China[J]. Journal of Resources and Ecology, 2015, 6(1): 1-11.
- [8] 方宇, 景晓明, 王飞, 等. 长期施肥对氨氧化古菌丰度及群落结构的影响[J]. 植物营养与肥料学报, 2015, **21**(6): 1607-1614.
- [9] Hermansson A, Lindgren P E. Quantification of ammoniaoxidizing bacteria in arable soil by real-time PCR[J]. Applied and Environmental Microbiology, 2001, 67(2): 972-976.
- [10] Okano Y, Hristova K R, Leutenegger C M, et al. Application of real-time PCR to study effects of ammonium on population size of ammonia-oxidizing bacteria in soil [J]. Applied and Environmental Microbiology, 2004, 70(2): 1008-1016.
- [11] Ai C, Liang G Q, Sun J W, et al. Different roles of rhizosphere effect and long-term fertilization in the activity and community structure of ammonia-oxidizers in a calcareous fluvo-aquic soil [J]. Soil Biology and Biochemistry, 2013, 57; 30-42.
- [12] Chu H Y, Fujii T, Morimoto S, et al. Community structure of ammonia-oxidizing bacteria under long-term application of mineral fertilizer and organic manure in a sandy loam soil [J]. Applied and Environmental Microbiology, 2007, 73(2): 485-491.
- [13] Zhang F S, Li L. Using competitive and facilitative interactions in intercropping system to enhances crop productivity and nutrient-use efficiency[J]. Plant and Soil, 2003, 248 (1-2):

- 305-312
- [14] Li L, Sun J H, Zhang F S, et al. Wheat/maize or wheat/ soybean strip intercropping. I. Yield advantage and interspecific interactions on nutrients [J]. Field Crops Research, 2001, 71 (2): 123-137.
- [15] Li L, Tang C X, Rengel Z, et al. Chickpea facilitates phosphorus uptake by intercropped wheat from an organic phosphorus source [J]. Plant and Soil, 2003, 248 (1-2): 305-312.
- [16] Li L, Zhang F S, Li X L, et al. Interspecific facilitation of nutrient uptake by intercropped maize and faba bean [J]. Nutrient Cycling in Agroecosystems, 2003, 65(1): 61-71.
- [17] 高阳, 申孝军, 李新强, 等. 间作群体内土壤呼吸和硝化-反硝化作用研究[J]. 灌溉排水学报, 2015, **34**(2): 16-19.
- [18] Song Y N, Marschner P, Li L, et al. Community composition of ammonia-oxidizing bacteria in the rhizosphere of intercropped wheat (*Triticum aestivum* L.) maize (*Zea mays* L.), and faba bean (*Vicia faba* L.) [J]. Biology and Fertility of Soils, 2007, 44(2): 307-314.
- [19] He X H, Zhu S S, Wang H N, et al. Crop diversity for ecological disease control in potato and maize [J]. Journal of Resources and Ecology, 2010, 1(1): 45-50.
- [20] 黄鹏,张恩和,柴强. 施氮对新灌区不同间套种植模式产量及 茬口养分特性的影响[J]. 草业学报,2001,10(1):86-91.
- [21] 刘景辉,曾昭海,焦立新,等. 不同青贮玉米品种与紫花苜蓿的间作效应[J]. 作物学报,2006,32(1):125-130.
- [22] 陈阜,逄焕成. 冬小麦/春玉米/夏玉米间套作复合群体的高产机理探讨[J]. 中国农业大学学报,2000,**5**(5);12-16.
- [23] Rotthauwe J H, Witzel K P, Liesack W. The ammonia monooxygenase structural gene amoA as a functional marker: molecular fine-scale analysis of natural ammonia-oxidizing populations [J]. Applied and Environmental Microbiology, 1997, 63(12): 4704-4712.
- [24] Francis C A, Roberts K J, Beman J M, et al. Ubiquity and diversity of ammonia-oxidizing archaea in water columns and sediments of the ocean[J]. Proceedings of the National Academy of Sciences of the United States of America, 2005, 102 (41): 14683-14688.
- [25] Hansel C M, Fendorf S, Jardine P M, et al. Changes in bacterial and archaeal community structure and functional diversity along a geochemically variable soil profile [J]. Applied and

Environmental Microbiology, 2008, 74(5): 1620-1633.

37 卷

- [26] Nemergut D R, Costello E K, Hamady M, et al. Global patterns in the biogeography of bacterial taxa [J]. Environmental Microbiology, 2011, 13(1): 135-144.
- [27] Wertz S, Leigh A K K, Grayston S J. Effects of long-term fertilization of forest soils on potential nitrification and on the abundance and community structure of ammonia oxidizers and nitrite oxidizers [J]. FEMS Microbiology Ecology, 2012, 79 (1): 142-154.
- [28] Chu H Y, Hosen Y, Yagi K, et al. Soil microbial biomass and activities in a Japanese Andisol as affected by controlled release and application depth of urea[J]. Biology and Fertility of Soils, 2005, 42(2): 89-96.
- [29] Shi W, Norton J M. Microbial control of nitrate concentrations in an agricultural soil treated with dairy waste compost or ammonium fertilizer[J]. Soil Biology and Biochemistry, 2000, 32 (10): 1453-1457.
- [30] Webster G, Embley T M, Prosser J I. Grassland management regimens reduce small-scale heterogeneity and species diversity of β-proteobacterial ammonia oxidizer populations[J]. Applied and Environmental Microbiology, 2002, 68(1): 20-30.
- [31] Song Y N, Lin Z M. Abundance and community composition of ammonia-oxidizers in paddy soil at different nitrogen fertilizer rates[J]. Journal of Integrative Agriculture, 2014, 13(4): 870-880.
- [32] 王亚男,曾希柏,俄胜哲,等.施肥对设施菜地氨氧化细菌群落和丰度的影响[J].农业环境科学学报,2012,31(12):2425-2432.
- [33] 孟德龙,杨扬,伍延正,等. 多年蔬菜连作对土壤氨氧化微生物群落组成的影响[J]. 环境科学,2013,33(4):1331-1338.
- [34] 李虎, 黄福义, 苏建强, 等. 浙江省瓯江氨氧化古菌和氨氧化细菌分布及多样性特征[J]. 环境科学, 2015, 36(12): 4659-4666.
- [35] Nicol G W, Leininger S, Schleper C, et al. The influence of soil pH on the diversity, abundance and transcriptional activity of ammonia oxidizing archaea and bacteria [J]. Environmental Microbiology, 2008, 10(11): 2966-2978.
- [36] 曾泽彬,朱波,朱雪梅,等. 施肥对夏玉米季紫色土N₂O排 放及反硝化作用的影响[J]. 土壤学报,2013,**50**(1):130-137.

HUANJING KEXUE

Environmental Science (monthly)

Vol. 37 No. 8 Aug. 15, 2016

CONTENTS

| Spatiotemporal Distribution and Source Attribution of SOA in China | CHEN Zhuo, LIU Jun-feng, TAO Wei, et al. (2815) |
|--|--|
| Emission Inventory of Heavy Metals in Fine Particles Emitted from Residential Coal Burning in China | |
| Diurnal Variation of PM _{2,5} Mass Concentration in Beijing and Influence of Meteorological Factors Based on Long Term Date ······ | |
| Characteristics of Ozone Background Concentration in Beijing from 2004 to 2015 | |
| Online Sources about Atmospheric Fine Particles During the 70th Anniversary of Victory Parade in Shijiazhuang | |
| Pollution Characteristics of Inorganic Water-soluble Ions in Atmospheric Particulate Matter in Chengdu Plain | |
| Observation Analysis on the Characteristics of Meteorological Elements and Pollutants During a Continuous Fog and Haze Episode in | |
| Observation straight on the Guardeerstee of Steelestonguest Heritagia and Foliations | |
| Characteristics and Source Apportionment of Metals in the Dustfall of Quanzhou City | |
| Level and the Courses of Heavy Metals and Its Risk Assessment in Indoor Dust of City: Take Guiyang as a Case | |
| Chemical Characteristics and Source of Acid Precipitation in Guilin | |
| Assessment of Gaseous Nitrogen (NH ₃ and N ₂ O) Mitigation After the Application of a Range of New Nitrogen Fertilizers in Summe | |
| Assessment of Gaseous Nitrogen (Art ₃ and A ₂ O) mingation After the Application of a realige of New Nitrogen Pertilizers in Summe | maize cunivation EAN U.: HANG Shop shop WELVing et al. (2006) |
| | |
| Soil CO ₂ , CH ₄ and N ₂ O Fluxes from Alpine Meadows on the Plateau of Southern Qinghai Province During Snow Cover Period and G | |
| Partial Pressure of Carbon Dioxide and Methane from Autumn to Winter in Xiangxi Bay of the Three Gorges Reservoir | |
| Potential Impacts of Climate Change on Phosphorus and DO in Yuqiao Reservoir | |
| Land Use Structure Change and Its Control Effect of Nitrogen Output in a Small Watershed of Three Gorges Reservoir Area; A Case | Study of Lanlingxi Watershed |
| | |
| Response of Inflow Water Quality to Land Use Pattern in Northern Watershed of Lake Erhai | |
| Effect of Nutrient Cycles in Tributaries on the Transport of Nutrient in the Three Gorge Reservoirs; A Case Study of Caotang River | |
| Transient Storage Characteristics of Artificial Pool Geomorphic Structure in an Agricultural Headwater Stream | |
| Distribution Characteristics of Solute Nitrogen in the Water-Sediment of Farmland Drainage Ditch | |
| Characteristics and Influencing Factors of Soil Microbial Biomass Carbon and Nitrogen in Drawdown Area in the Three Gorges Reservations of Soil Microbial Biomass Carbon and Nitrogen in Drawdown Area in the Three Gorges Reservations of Soil Microbial Biomass Carbon and Nitrogen in Drawdown Area in the Three Gorges Reservations of Soil Microbial Biomass Carbon and Nitrogen in Drawdown Area in the Three Gorges Reservations of Soil Microbial Biomass Carbon and Nitrogen in Drawdown Area in the Three Gorges Reservations of Soil Microbial Biomass Carbon and Nitrogen in Drawdown Area in the Three Gorges Reservations of Soil Microbial Biomass Carbon and Nitrogen in Drawdown Area in the Three Gorges Reservations of Soil Microbial Biomass Carbon and Nitrogen in Drawdown Area in the Three Gorges Reservations of Soil Microbial Biomass Carbon and Nitrogen in Drawdown Area in the Three Gorges Reservations of Soil Microbial Biomass Carbon and Nitrogen in Drawdown Area in the Three Gorges Reservations of Soil Microbial Biomass Carbon and Nitrogen in Carbon and Nitrogen Indoord Area (Natural Area) and Ni | voir |
| | |
| Response Behaviors of Heavy Metals at Tidal Currents Interface and Salinity Interface in the Estuary Area | |
| Simulation of Multimedia Transfer and Fate of Perfluorooctane Sulfonate (PFOS) in Shenzhen Region | |
| Distribution Characteristics and Ecological Risk Assessment of Organochlorine Pesticides in Surface Sediments of Zhelin Bay in Gua | ngdong Province, China ····· |
| | ····· WEI Ya-ning, PAN Jia-chuan, SONG Yu-mei, et al. (3007) |
| Spatial Distribution Characteristics and Source Analysis of Dissolved Organic Matter in Beiyun River | CHEN Yong-juan, HU Wei-xuan, PANG Shu-jiang, et al. (3017) |
| Distribution and Environmental Significances of Radionuclides in the Sediment of the Changyi Coastal Wetland | ······ WANG Qi-dong, SONG Jin-ming, LI Xue-gang, et al. (3026) |
| Fecal Contamination in Laolongdong Underground River as Measured by the Sterol Biomarkers | LIAO Yu, SUN Yu-chuan, WANG Zun-bo, et al. (3034) |
| Distribution Characteristics and Pollution Status of Phthalate Esters in the Groundwater of Hutuo River Pluvial Fan | |
| Impacts of Land Use on the Source of Dissolved Fatty Acids in Epikarst Spring During Rainy Season | |
| Mechanisms of Phosphorus Removal by Modified Zeolites Substrates Coated with Zn-LDHs in Laboratory-scale Vertical-flow Construction | eted Wetlands ····· |
| | ··· ZHANG Xiang-ling, HUANG Hua-ling, GUO Lu, et al. (3058) |
| Synergistic Enhancement on Oxidation of Phenol by Fenton Processes by Adding Ce ^{3 +} and Cu ^{2 +} Ions | ··· ZHANG Jian-giao, CHI Hui-zhong, SONG Yang, et al. (3067) |
| Removal of Humic Acid from Water Using Pt/biochar Electrode Reactor | |
| Generation of Graphene-titanium Dioxide Nanotubes Catalytic Board and Its Photocatalysis Capability to Degrade Pentachlorophenol | |
| Photocatalytic Degradation Kinetics and Mechanism of Monoazo Dye Acid Yellow 17 by UV/TiO ₂ in Aqueous Solution | |
| Feasibility of Sulfur-based Autotrophic Denitrification of Photovoltaic Wastewater Containing High Fluorine | |
| Operation Performance of a Bioaugmented Membrane-aerated Biofilm Reactor Treating Atrazine Wastewater | |
| Nitrogen Removal of Municipal Wastewater by ANAMMOX Coupled Shortcut Nitrification in Anaerobic Baffled Reactor | |
| Simultaneous Ferric Reduction with Ammonia Oxidation Phenomena in Activated Sludge in Anaerobic Environment | |
| Rapid Start-up of One-stage Autotrophic Nitrogen Removal Process in EGSB Reactor for Wastewater with Low Concentration of Amn | |
| Phosphorus Removal Performance in EBPR System under Extra-low Dissolved Oxygen Condition | |
| | |
| Influence of Activated Sludge Surface Properties on Flocculating Settling and Effluent Suspend Solid | |
| Spatial Characteristics and Environmental Risk of Heavy Metals in Typical Gold Mining Area of Shandong Province | |
| Spatial Variation of Soil Heavy Metals in an E-waste Dismantling Area and Their Distribution Characteristics | |
| Selenate Adsorption and Desorption in 18 Kinds of Chinese Soil with Their Physicochemical Properties | |
| Adsorption Characteristics of Arsenite on Goethite by Flow Stirring Method | |
| Preparation of Poly-hydroxy-aluminum Pillared Diatomite and Characteristics of Cu ²⁺ , Zn ²⁺ Adsorption on the Pillar in Aqueous S | olutions |
| | |
| Preparation and NH ₄ ⁺ -N Removal Performance of a Novel Filter Substrate Made from Sludges | |
| Preparation of Nanocomposite Hydrogel and Its Adsorption of Heavy Metal Ions | ZHU Qian, LI Zheng-kui, ZHANG Yi-pin, et al. (3192) |
| Prediction of PAHs Bioavailability in Spiked Soil by Composite Extraction with Hydroxypropyl- β -cyclodextrin and Rhamnolipid \cdots | ZHANG Ya-nan, YANG Xing-lun, BIAN Yong-rong, et al. (3201) |
| Biological Effects of ZnO Nanoparticles as Influenced by Arbuscular Mycorrhizal Inoculation and Phosphorus Fertilization | |
| Difference of Species Sensitivities for Aquatic Life Criteria in China and the USA | WANG Xiao-nan, YAN Zhen-guang, YU Ruo-zhen, et al. (3216) |
| Effects of Low-level Nutrition and Trace Antibiotics on the Fitness Cost of Plasmids Bearing Antibiotic Resistance | LIN Wen-fang, CHEN Sheng, WAN Kun, et al. (3224) |
| Effect of Different Nitrogen Rates on the Nitrification Potential and Abundance of Ammonia-oxidizer in Intercropping Maize Soils | LÜ Yu, ZHOU Long, LONG Guang-qiang, et al. (3229) |
| | |

《环境科学》第6届编辑委员会

主 编:赵进才

副主编:赵景柱 郝吉明 田 刚

编 委: (按姓氏笔画排序)

万国江 王华聪 王凯军 王绪绪 田 刚 田 静 史培军

朱永官 刘志培 刘 毅 汤鸿霄 孟 伟 周宗灿 林金明

赵进才 赵景柱 姜 林 郝郑平 郝吉明 聂永丰 黄 霞

黄耀鲍强潘纲潘涛魏复盛

环维种草

(HUANJING KEXUE)

(月刊 1976年8月创刊)

2016年8月15日 第37卷 第8期

ENVIRONMENTAL SCIENCE

(Monthly Started in 1976)

Vol. 37 No. 8 Aug. 15, 2016

| | | 1 - 74 - 11 - 11 - 12 - 11 - 774 | | | |
|------|-----|----------------------------------|------------------|----|---|
| 主 | 管 | 中国科学院 | Superintended | by | Chinese Academy of Sciences |
| 主 | 办 | 中国科学院生态环境研究中心 | Sponsored | by | Research Center for Eco-Environmental Sciences, Chinese |
| 协 | 办 | (以参加先后为序) | | | Academy of Sciences |
| | | 北京市环境保护科学研究院 | Co-Sponsored | by | Beijing Municipal Research Institute of Environmental |
| | | 清华大学环境学院 | | | Protection |
| 主 | 编 | 赵进才 | | | School of Environment, Tsinghua University |
| 编 | 辑 | 《环境科学》编辑委员会 | Editor-in -Chief | • | ZHAO Jin-cai |
| >m | 7-4 | 北京市 2871 信箱(海淀区双清路 | Edited | by | The Editorial Board of Environmental Science (HUANJING |
| | | 18号,邮政编码:100085) | | | KEXUE) |
| | | 电话:010-62941102,010-62849343 | | | P. O. Box 2871, Beijing 100085, China |
| | | 传真:010-62849343 | | | Tel:010-62941102,010-62849343; Fax:010-62849343 |
| | | E-mail:hjkx@ rcees. ac. cn | | | E-mail; hjkx@ rcees. ac. cn |
| | | http://www.hjkx.ac.cn | | | http://www.hjkx.ac.cn |
| 出 | 版 | 4 学业版社 | Published | by | Science Press |
| - | | 北京东黄城根北街 16 号 | | | 16 Donghuangchenggen North Street, |
| | | 邮政编码:100717 | | | Beijing 100717, China |
| 印刷装 | ŧ订 | 北京北林印刷厂 | Printed | by | Beijing Bei Lin Printing House |
| 发 | 行 | 斜华出版社 | Distributed | by | Science Press |
| | | 电话:010-64017032 | | | Tel:010-64017032 |
| | | E-mail:journal@mail.sciencep.com | | | E-mail; journal@ mail. sciencep. com |
| 订 购 | 处 | 全国各地邮电局 | Domestic | | All Local Post Offices in China |
| 国外总统 | 发行 | 中国国际图书贸易集团有限公司 | Foreign | | China International Book Trading Corporation (Guoji |
| | | (北京 399 信箱) | | | Shudian), P. O. Box 399, Beijing 100044, China |

中国标准刊号: ISSN 0250-3301 CN 11-1895/X

国内邮发代号: 2-821

国内定价:120.00元

国外发行代号: M 205

国内外公开发行